



Research Article

Effects of seed priming using cold plasma on increasing germination and growth of guar (*Cyamopsis tetragonoloba*) seeds under salt stress conditions

Forough Firouzkoohi¹, Fatemeh Nasibi^{2*}, Batool Keramat³, Hadi Noori⁴, Effat Ahmadi Mousavi⁵

1. PhD Student of Plant Physiology, Department of Biology, Faculty of Sciences, Shahid Bahonar University of Kerman, Kerman, Iran.

2. Associate Professor of Plant Physiology, Department of Biology, Faculty of Sciences, Shahid Bahonar University of Kerman, Kerman, Iran.

3. Associate Professor of Plant Physiology, Department of Biology, Faculty of Sciences, Shahid Bahonar University of Kerman, Kerman, Iran.

4. Associate Professor of Physics, Department of Physics, Faculty of Sciences, Shahid Bahonar University of Kerman, Kerman, Iran.

5. PhD in Plant Physiology, Department of Biology, Faculty of Sciences, Shahid Bahonar University of Kerman, Kerman, Iran.

Article Information

Received: 21 Nov. 2023

Revised: 26 Feb. 2024

Accepted: 05 Mar. 2024

Keywords:

Dielectric barrier discharge,
Seed germination,
Guar,
Cold plasma,
Salt stress

Corresponding Author:
nasibi.f@uk.ac.ir



Abstract

Effects of dielectric barrier discharge (DBD) helium plasma treatments on guar (*Cyamopsis tetragonoloba*) seed germination and seedling growth were studied. Seeds were pretreated with 0, 1/44 and 0/68 W of cold plasma for 60 s. Salt stress experiment included three salinity levels of NaCl (0, 50 and 100 mM). Results showed that plasma treatments had positive effects on seed germination and seedling (shoot length, root length, dry and fresh weight of shoot and root). The treatment of 1.44 W of cold plasma had the most stimulating effect on the percentage of germination and growth of guar seedlings. Additionally, the application of Helium plasma treatments, considerably enhanced chlorophyll a, chlorophyll b, total chlorophyll, carotenoids, and potassium (K+) content in the leaves of guar plant. Thus, cold plasma treatment can be used an ameliorative way to the enhancement germination and improve seedling growth of guar against damage caused by salt stress.

How to cite this paper: Firouzkoohi, F., Nasibi, F., Keramat, B., Noori, H., & Ahmadi Mousavi, E. (2025). Effects of seed priming using cold plasma on increasing germination and growth of guar (*Cyamopsis tetragonoloba*) seeds under salt stress conditions. *Iranian Journal of Seed Science and Technology*, 14 (1), 33-51. <https://doi.org/10.22092/ijsst.2024.364182.1507>



© Authors, Published by Iranian Journal of Seed Science and Technology. This is an open-access article distributed under the CC BY (license <https://creativecommons.org/licenses/by/4.0/>)

EXTENDED ABSTRACT

Introduction

Salinity stress poses a significant challenge to crop growth and development, making it crucial to enhance tolerance to such stress, especially in arid and semi-arid regions. Guar seeds contain a high concentration of the natural hydrocolloid known as galactomannan, or guar gum, which is widely used across various industries. However, salinity stress adversely affects guar plants, leading to reduced growth and productivity. In recent years, non-thermal plasma technology (NTP) has gained traction in the agricultural sector. Despite this, there are currently no studies examining the effects of cold plasma on guar plants under salt stress. This study aims to investigate the impact of helium cold plasma treatment on guar plants exposed to salt stress.

Materials and Methods

This experiment investigated the effects of two different plasma input power levels: 1.44 W (current: 0.48 A, voltage: 3 V) and 0.68 W (current: 0.34 A, voltage: 2 V). High-purity helium gas (>99%) was used as the plasma carrier gas, with a flow rate of approximately 1 Liter per Minute (SLM). The seeds were exposed to cold plasma for 1 minute. Following plasma treatment, both treated and untreated (control) seeds were hydro-primed using distilled water for 12 hours. Afterward, the seeds were transferred to Petri dishes containing varying salinity levels (0, 50, and 100 mM sodium chloride). The Petri dishes were placed in a growth chamber with a 16-hour light/8-hour dark cycle at a temperature of 25 °C. After 7 days, seedlings were collected to evaluate several morphological and physiological parameters.

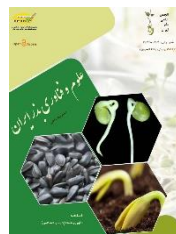
Results and Discussion

The results indicated that as salinity stress increased, the germination percentage and germination rate decreased. However, seed priming using cold plasma significantly improved these parameters. The highest germination percentage under salinity stress was observed with Helium 3V cold plasma pretreatment. Moreover, plasma seed priming notably enhanced the germination rate

under 100 mM salinity stress at both helium 2V and 3V potential differences. Salinity stress led to reductions in both root and shoot lengths, as well as decreases in the fresh and dry weights of both shoots and roots. In contrast, seedling growth characteristics—including shoot length, root length, shoot fresh weight, root fresh weight, shoot dry weight, and root dry weight—significantly increased following cold plasma treatment. Numerous studies suggest that the improvements in seed germination and seedling growth rates attributed to plasma may be linked to enhanced water uptake by the seeds. Exposure to cold plasma can erode the seed coat, resulting in changes that increase the seed's hydrophilic properties. This enhancement significantly facilitates water absorption, which is critical for both germination and subsequent seedling growth. Under conditions of salinity stress, the contents of chlorophyll a, chlorophyll b, total chlorophyll, and carotenoids decreased, whereas these contents increased with cold plasma treatment, particularly in the He/3V treatment. As salinity levels rose, sodium (Na^+) content increased in the roots and leaves, while potassium (K^+) content declined in both. However, cold plasma treatment improved K^+ levels in the leaves and roots under saline conditions and significantly reduced Na^+ content in the leaves, thereby enhancing the K^+/Na^+ ratio.

Conclusion

The results of the experiment indicated that increasing salinity stress negatively affected all morphological and physiological traits of guar seedlings. However, seed priming with cold plasma significantly improved the germination, growth, and overall performance of the seedlings. Specifically, using helium dielectric barrier discharge (DBD) plasma at a power level of 1.44 watts for 60 seconds produced the best outcomes in enhancing germination and promoting seedling growth. Therefore, seed priming with cold plasma is an effective strategy for mitigating the adverse effects of salinity stress on guar seedling growth, ultimately leading to improved germination and better establishment of seedlings under such conditions.



اثرات پرایمینگ بذر با استفاده از پلاسمای سرد بر افزایش جوانهزنی و رشد بذر گوار (*Cyamopsis tetragonoloba*) توده اصفهان در شرایط نتش شوری

فروغ فیروزکوهی^{۱*}، فاطمه نصیبی^۲، هادی نوری^۳، بتول کوامت^۴، عفت السادات احمدی موسوی^۵

۱. دانشجوی دکتری فیزیولوژی گیاهی، گروه زیست شناسی، دانشکده علوم، دانشگاه شهید باهنر کرمان، کرمان، ایران.
۲. دانشیار فیزیولوژی گیاهی، گروه زیست شناسی، دانشکده علوم، دانشگاه شهید باهنر کرمان، کرمان، ایران.
۳. دانشیار فیزیولوژی گیاهی، گروه زیست شناسی، دانشکده علوم، دانشگاه شهید باهنر کرمان، کرمان، ایران.
۴. دانشیار فیزیک، گروه فیزیک، دانشکده علوم، دانشگاه شهید باهنر کرمان، کرمان، ایران.
۵. دکتری فیزیولوژی گیاهی، گروه زیست شناسی، دانشکده علوم، دانشگاه شهید باهنر کرمان، کرمان، ایران.

اطلاعات مقاله

چکیده

تاریخ دریافت: ۱۴۰۲/۰۸/۳۰

اثرات تخلیه سد دی الکتریک (DBD) تیمارهای پلاسمای هلیوم بر جوانهزنی بذر و رشد گیاهچه گوار (*Cyamopsis tetragonoloba*) مورد بررسی قرار گرفت. بذرها با صفر، ۱/۴۴ و ۱/۶۸ وات پلاسمای سرد به مدت ۶۰ ثانیه پیش تیمار شدند. آزمایش نتش شوری شامل سطح شوری کلرید سدیم (صفرا، ۵۰ و ۱۰۰ میلی مولار) بود. نتایج نشان داد که تیمارهای پلاسما تأثیر مثبتی بر جوانهزنی بذر و رشد گیاهچه (طول ساقه‌چه، طول ریشه‌چه، وزن خشک و تر اندام هوایی و ریشه‌چه) داشتند و تیمار ۱/۴۴ وات پلاسمای سرد یشتربین اثر تحریکی را بر درصد جوانهزنی و رشد گیاهچه گوار داشت. همچنین، استفاده از تیمارهای پلاسمای هلیوم باعث افزایش قابل توجه کلروفیل a ، کلروفیل b ، کاروتینوئیدها و پتاسیم (K^+) در برگ‌های گیاه گوار شد. بنابراین تیمار با پلاسمای سرد می‌تواند به عنوان یک روش بهبود بخش برای افزایش جوانهزنی و بهبود رشد گیاهچه گوار در برابر آسیب‌های ناشی از نتش شوری مورد استفاده قرار گیرد.

تاریخ بازنگری: ۱۴۰۲/۱۲/۰۷

تاریخ پذیرش: ۱۴۰۲/۱۲/۱۵

واژه‌های کلیدی:
تخلیه سد دی الکتریک،
جوانهزنی بذر،
گوار،
پلاسمای سرد،
نشش شوری

نویسنده مسئول:

nasibi.f@uk.ac.ir



نحوه استناد به این مقاله:

Firouzkoohi, F., Nasibi, F., Keramat, B., Noori, H., & Ahmadi Mousavi, E. (2025). Effects of seed priming using cold plasma on increasing germination and growth of guar (*Cyamopsis tetragonoloba*) seeds under salt stress conditions. *Iranian Journal of Seed Science and Technology*, 14 (1), 33-51. <https://doi.org/10.22092/ijsst.2024.364182.1507>

مقدمه

پرایمینگ (RNS: Reactive nitrogen species) از جمله O_3 , OH , NO_x و O_2 تولید کند (Stolarik et al., 2015).

در دو دهه اخیر کاربردهای CAPP در کشاورزی و زیست شناسی گیاهی افزایش یافته است، به طوری که امروزه کاربرد پلاسمای سرد در کشاورزی برای تیمار بذرها، گیاهان و میوه‌ها "کشاورزی پلاسما" نامیده می‌شود (Da Silva et al., 2017).

مشخص شده است که گونه‌های فعال اکسیژن با عمل به عنوان مولکول‌های سیگنال‌دهنده تکثیر و تمایز سلولی، مرگ برنامه‌ریزی شده سلولی، جوانهزنی بذر، زمین گرایی^۱، رشد تار کشنده، توسعه لوله گرد و پیری در فرآیندهای رشد گیاه شرکت می‌کنند (Choudhury et al., 2017).

برای بذرها، که محور اصلی این مطالعه هستند، نشان داده شده است که CAPP سطوح دانه‌ها را با تولید ROS ضدغذونی و استریل می‌کند که می‌تواند در صد بذرها جوانه زده را افزایش دهد (Randeniya et al., 2015). پلاسما همچنین می‌تواند سرعت جوانهزنی بذر را افزایش داده و رشد گیاه را تسريع کند (Volkov et al., 2019). به طور معمول جوانهزنی با جذب آب آغاز می‌شود که منجر به فعال شدن متابولیسم، کاتال های یونی و سایر فرآیندها می‌شود. گزارش شده است که CAPP-می‌تواند جذب آب بذرها گیاهانی مانند عدس، لوبیا و گندم را افزایش دهد (Burin et al., 2015). پلاسمای اتمسفری سرد (غیرحرارتی) از طریق (۱) قرار گرفتن مستقیم بذر در معرض پلاسما یا (۲) پرایمینگ بذر با آب فعال شده با پلاسما (PAW) می‌تواند جوانهزنی بذرها را بهبود بخشد (Adhikari et al., 2020).

در دهه گذشته، تعداد مقالات منتشر شده در مورد استفاده از پلاسمای سرد در کشاورزی افزایش یافته است. چندین محقق بهبود موثر جوانهزنی و رشد گونه‌های گیاهی مانند گندم (Li et al., 2017; Roy et al., 2018; Meng et al., 2017) Ling et al., 2014)، دانه‌های سویا (Filatova et al., 2014)، ماش (Zhang et al., 2017) Sadhu et al., 2017) تربچه (Shiratani et al., 2016; Sarinont et al., 2016; Mihai et al., 2014) Nخود (Gao et al., 2019; Švubová et al., 2020) و برنج

گیاه گوار (*Cyamopsis tetragonoloba*) یکی از انواع جبویات کمتر شناخته شده است که بیشتر در مناطق خشک و نیمه خشک رشد می‌کند و به خشکی و گرما، تحمل بالایی دارد. حدود ۸۰ درصد از گوار جهان در راجستان هند به عنوان محصول دیم از جولای تا اوایل نوامبر تولید می‌شود (Acharya et al., 2022). مابقی در ایالات متحده آمریکا، برباد، آفریقای جنوبی، مالاوی، زیر، سودان، استرالیا و چین تولید می‌شود آندوسپرم دانه‌های گوار منع غنی از هیدروکلوئید طبیعی (گالاكتومانان) است که به عنوان صمغ گوار (گوارگام) شناخته می‌شود. صمغ گوار در صنایع مختلفی از جمله مواد غذایی، نساجی، نفت، گاز طبیعی، معدن، داروسازی، آرایشی و بهداشتی، کاغذ و رنگ استفاده می‌شود و گوار را به یک محصول صنعتی مهم تبدیل کرده است (Sharma et al., 2018). همچنین این گیاه از لحاظ دارویی نیز با اهمیت است و فتل‌ها و فلاونوئیدهای موجود در دانه‌های گوار نقش مهمی در درمان بیماری‌های مختلف قلبی -عروقی و سیستم عصبی دارند (Hartemink et al., 1999). تنش‌های مختلف زیستی و غیرزیستی تولید این محصول پر ارزش را به شدت کاهش می‌دهد. در میان تنش‌های غیرزیستی، سوری بسیار مخرب است که رشد، توسعه و عملکرد این محصول را به شدت کاهش می‌دهد. به طور کلی سوری شرایط محیطی نامطلوبی را ایجاد کرده که جوانهزنی بذر و استقرار گیاه گوار را محدود و بهره‌وری آن را دچار مشکل می‌کند (Suthar et al., 2019). از این رو، یافتن راهی برای افزایش بهبود بهره‌وری گوار در شرایط سوری ضروری به نظر می‌رسد.

پلاسمای سرد فشار اتمسفری^۲ (CAPP) یک گاز تا حدی یونیزه است که در فشار اتمسفر کار می‌کند و از ذرات باردار (الکترون‌ها، یون‌ها) و ذرات خنثی (اتم‌ها، مولکول‌ها) و همچنین فوتون‌ها تشکیل شده است. CAPP‌ها در صورت تعامل با گازهای مختلف مانند هوا، گونه‌های مولکولی اتمی مختلفی تولید می‌کنند. به عنوان مثال، CAPP در هوا می‌تواند گونه‌های فعال اکسیژن (ROS: Reactive oxygen species) و نیتروژن

^۱ Cold atmospheric-pressure plasma (CAPP)

^۲ Gravitropism

بهمن ماه ۱۴۰۱ ساخته شد. در شکل شماره ۱ تصویر شماتیکی از دستگاه نمایش داده شده است. مجموعه الکتروودها در محفظه‌ای از جنس تفلون جای گرفته است و بخش‌هایی برای مجموعه اتصالات ورودی و خروجی گاز و منبع تغذیه تعیین شده است. اختلاف پتانسیل الکتریکی بین دو الکتروود توسط یک منبع تغذیه مستقیم پالسی با فرکانس ۲۰۰ هرتز و ارتفاع پالسی ۵ کیلو ولت تامین می‌شود. همچنین از یک حلقه عایق برای تنظیم فاصله بین دو الکتروود و همچنین نگهدارنده بذرها در ناحیه مرکزی الکتروودها که پلاسمایی تقریباً یکنواخت دارد، استفاده شده است. در این آزمایش اثر دو توان الکتریکی متفاوت ورودی پلاسما یعنی ۱/۴۴ وات (جریان: ۰/۴۸ آمپر / ولتاژ: ۳: ولت) و ۰/۶۸ وات (جریان: ۰/۳۴ آمپر / ولتاژ ۲ ولت) بررسی گردید. همچنین از گاز هلیوم با خلوص بالاتر از ۹۹ درصد و جریان تقریبی ۱ لیتر در دقیقه (SLM)^۲ به عنوان گاز زمینه محیط پلاسمایی استفاده گردید.

تیمار بذر گوار با پلاسما

در این آزمایش پیش تیمارهای مورد استفاده شامل: بذرهای تیمار شده با پلاسمای سرد با ولتاژ ۲ ولت و بذرهای تیمار شده با پلاسمای سرد با ولتاژ ۳ ولت بود. بدین منظور توده بذری گوار در آبان ماه ۱۴۰۰ از شهرستان مبارکه اصفهان در ۴۵ کیلومتری جنوب غرب شهر اصفهان با طول جغرافیایی ۵۱ درجه و ۳۰ دقیقه و عرض جغرافیایی ۳۲ درجه و ۲۰ دقیقه شمالی با ارتفاع ۱۶۹۰ متر از سطح دریا جمع آوری شد. بذرها به مدت ۱ دقیقه تحت تاثیر پلاسمای سرد قرار گرفتند. بذرهای شاهد تحت تاثیر پلاسمای سرد قرار نگرفتند. در این آزمایش از گاز هلیوم برای تولید پلاسمایی استفاده شد. سپس بذرهای تیمار شده با پلاسما و بذرهای شاهد پس از ۱۲ ساعت هیدروپرایمینگ با آب مقطر، به پتری‌های حاوی سطوح مختلف شوری (صفر، ۵۰ و ۱۰۰ میلی‌مولار کلرید سدیم) منتقل شدند. پتری‌ها در اتاقک رشد با ۱۶ ساعت روشنایی، ۸ ساعت تاریکی و دمای ۲۵ درجه سلسیوس قرار گرفتند. گیاهچه‌ها پس از مدت ۷ روز جهت سنجش برخی پارامترهای مورفو‌لوزی و فیزیولوزی جمع آوری گردیدند.

(Khamseen et al., 2016) تحت تاثیر پلاسمای سرد را گزارش کرده‌اند. مطالعات نشان داده است که قرار گرفتن بذر در معرض پلاسما جذب آب را بهبود می‌بخشد؛ همچنین زاویه تماس سطح آن را کاهش می‌دهد و آب با اتصال پیوندهای شیمیایی جدید به سطح، پوشش دانه را فعال می‌کند (Gómez et al., 2017). علاوه بر تغییرات فیزیکی در سطح بذر، تغییرات فیزیولوزیکی در گیاهچه همراه با اثرات بر رشد و نمو آن و بهبود تحمل در برابر تنش‌های مختلف نیز مشاهده شده است (Lu et al., 2016). بسته به منبع پلاسما و شرایط تیمار، اثرات منفی بر روی جوانه‌زنی و رشد گیاهان بنابراین، نوع تیمار (مستقیم یا غیرمستقیم)، پیکربندی راکتور، نوع گاز و پارامترهای الکتریکی بر روی جوانه‌زنی و رشد گیاهان تاثیرات مختلف خواهد داشت (Sera et al., 2012).

پلاسماهای سرد را می‌توان در فشار اتمسفر با استفاده از پیکربندی‌های مختلف راکتور تولید کرد. راکتورهای تخلیه سد دی-الکتریک (DBD)^۱ انعطاف پذیری زیادی در مورد آرایش الکتروودها ارائه می‌دهند و می‌توانند مناسب‌ترین انتخاب برای تیمار مستقیم بذرها باشند (Brandenburg et al., 2017).

با توجه به اهمیت اقتصادی و پژوهشی گیاه گوار و بررسی مطالعات انجام گرفته بر اثرات مثبت کاربرد پلاسمای سرد در کشاورزی، ما در این تحقیق نقش پرایمینگ بذر با استفاده از پلاسمای سرد ایجاد شده توسط گاز هلیوم، بر میزان تحمل تنش شوری در گیاه گوار را مورد بررسی قرار دادیم. هدف ما تعیین تاثیر پلاسما بر جوانه‌زنی و برخی خصوصیات مورفو‌لوزیکی و فیزیولوزیکی گیاه گوار تحت تنش شوری می‌باشد.

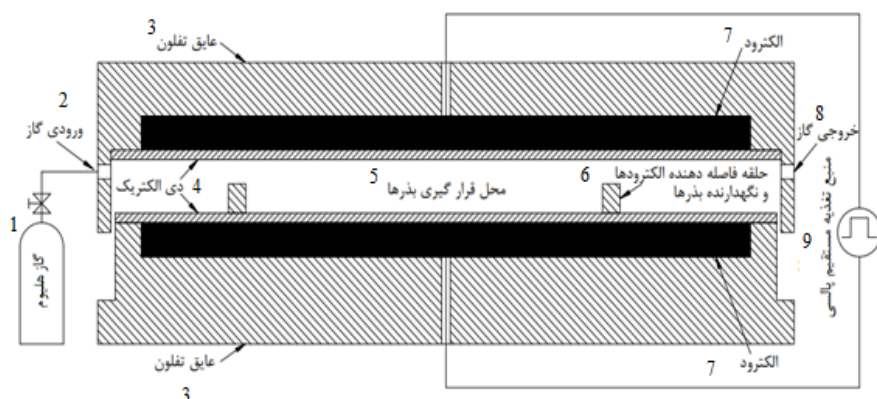
مواد و روش‌ها

منبع پلاسما

برای تولید پلاسمای سرد اتمسفری یک راکتور تخلیه سد دی-الکتریک (DBD) تشکیل شده از دو الکتروود آلومینیومی تحت که توسط لایه‌ای دی الکتریک با کلاس عایقی F پوشانده شده‌اند، در آزمایشگاه فیزیک پلاسمای دانشگاه شهید باهنر کرمان در

^۳ Dielectric barrier discharge

^۲ Standard Liters Per Minute



شکل ۱- تصویر شماتیکی از سیستم DBD فشار اتمسفری طراحی شده جهت تیمار بذرها. (۱) گاز هلیوم (۲) ورودی گاز (۳) عایق تفلون (۴) دی الکتریک (۵) محل بذرها (۶) حلقه فاصله دهنده الکترود و نگهدارنده بذر (۷) الکترود (۸) خروجی گاز (۹) منبع تغذیه مستقیم بالسی

Figure 1- Schematic of the atmospheric pressure DBD system. (1) Helium gas (2) Gas inlet (3) Teflon insulation (4) Dielectric (5) The location of the seeds (6) Electrode spacer ring and seed holder (7) Electrode (8) Gas outlet (9) Direct pulse power supply

اندازه‌گیری محتوای کلروفیل (a و b و کل) و کارتونوتین

برای اندازه‌گیری رنگدانه‌های فتوستنتزی (کلروفیل a, b و کل و کارتونوتین) از روش (Lichtenthaler, 1987) استفاده شد. بدین ترتیب که ۰/۰۲ گرم از گیاهچه گوار با ترازوی دیجیتال با دقت ۰/۰۰۱ گرم وزن و سپس در هاون چینی با سه میلی لیتر استن ۸۰ درصد به خوبی سائیده شد و پس از سانتریفیوژ به مدت ۱۰ دقیقه با دور ۴۰۰۰ ادر دقیقه، جذب محلول رویی با استفاده از دستگاه اسپکتروفوتومتر 50 Carry (ساخت کشور استرالیا) در سه طول موج ۶۴۷، ۶۶۳ و ۴۷۰ نانومتر خوانده شد. مقدار کلروفیل a، b و کلروفیل کل و کارتونوتینها با استفاده از فرمول‌های زیر محاسبه شدند:

$$\text{Chl}_a (\mu\text{g/ml}) = 12/25 A_{663.2} - 2/79 A_{646.8}$$

$$\text{Chl}_b (\mu\text{g/ml}) = 21/21 A_{646.8} - 5/1 A_{663.2}$$

$$\text{Chl}_{\text{t}} (\text{Chl}_a + \text{Chl}_b) = 7/15 A_{663.2} + 18/71 A_{646.8}$$

$$\text{Car+X} (\mu\text{g/ml}) = (1000 A_{470} - 1.8 \text{Chl}_a - 85/02 \text{Chl}_b)/198$$

اندازه‌گیری غلظت سدیم و پتاسیم

محتوای پتاسیم و سدیم با روش نورسنجی شعله‌ای اندازه‌گیری شد. نمونه‌های برگ و ریشه خشک و پودر شدند. سپس به ۰/۰۲ گرم برگ و ریشه پودر شده ۵cc اسید نیتریک اضافه گردید. پس از گذشت ۴۸ ساعت، مخلوطها روی هیتر در ۹۰ درجه سلسیوس به مدت حداقل ۴ ساعت حرارت داده شدند تا هضم اسیدی صورت گرفته و گازهای سمی خارج شوند. محلول حاضر توسط آب دیوینزه به حجم ۱۰ میلی لیتر رسیده و

محاسبه درصد جوانهزنی و رشد گیاهچه

در این تحقیق آزمایش‌های جوانهزنی بلا فاصله پس از اعمال تیمارها و قرار گرفتن در پتری‌ها آغاز شد. بدین منظور تعداد ۱۵ بذر در هر پتری روی لایه‌های کاغذی که با ۸ میلی لیتر محلول حاوی سطوح مختلف شوری (صفر، ۵۰، ۱۰۰ میلی مولار نمک کلرید سدیم) مرتبط شده بودند قرار گرفتند. پس از کاشت بذرها، ظروف پتری به جهت حفظ تعادل رطوبتی در دمای محیط آزمایشگاه (۲۵ درجه)، در اتاق کشت (ساخت شرکت نور صنعت آزمایشگاه تهران) در دمای (۲±۲۳: ۲±۱۶) درجه سلسیوس (تاریکی/نور) تحت شرایط نوری (۸: ۱۶) (تاریکی/نور) بر اساس دستورالعمل ایستا (ISTA, 2017) قرار گرفتند.

جوانهزنی بذر در فواصل منظم یک ساعه یادداشت شد.

خطاطر نشان می‌گردد زمانی که طول ریشه‌چه به حداقل ۱ میلی متر رسید، بذرها جوانه زده در نظر گرفته شدند.

درصد جوانهزنی (GP) بر اساس رابطه (۱) محاسبه شد.

$$GP(\%) = \frac{Ni}{N} * 100 \quad (1)$$

که در آن Ni مربوط به تعداد بذرها جوانه زده در یک بازه زمانی معین است و N مربوط به تعداد کل بذر در هر ظرف پتری است. همچنین طول ریشه و هیپوکوتیل بذرها جوانه زده، در مراحل اولیه رشد گیاهچه‌ای (۷ روز پس از زمان کاشت) اندازه‌گیری و ثبت گردید.

در تنش شوری یکی از بحرانی‌ترین مراحل در استقرار گیاهچه می‌باشد و گیاهان در طول مراحل جوانه‌زنی و رشد اولیه گیاهچه به شدت در برابر تنش شوری آسیب پذیر هستند (Ungar, 1996). اخیراً فناوری پلاسمای توجه محققان را برای بهبود صفات و افزایش عملکرد خصوصاً در گیاهان زراعی به خود جلب کرده است (Nishime et al., 2020). در این رابطه منگ و همکاران اظهار داشتند که تیمار دانه‌های گندم با پلاسمای DBD گازهای تغذیه کننده هوای نیتروژن و آرگون باعث افزایش جوانه‌زنی دانه‌های گندم می‌شود (Meng et al., 2017).

Dhayala et al. (2006) نشان دادند که اثرات یک تیمار کوتاه مدت پلاسمای کم فشار بر روی جوانه‌زنی بذر گلرنگ بسیار موثرتر از تیمار طولانی مدت پلاسمای با فشار بالا بود. همچنین (Selcuk et al. 2008) دریافتند که تیمار پلاسمای طور قابل توجهی جوانه‌زنی بذر گوجه فرنگی را افزایش داد. در پژوهش دیگر بذر دو موتانت آرایید پسیس، gl2 و gpat5، در معرض پلاسمای DBD قرار گرفتند و کارایی جوانه‌زنی بذر تحت تنش شوری ارزیابی شد و گزارش شد که پلاسمای با ایجاد تغییرات ساختاری در لایه‌های بذر باعث کاهش نفوذپذیری و کاهش اثرات تنش شوری بر جوانه‌زنی بذر می‌شود (Bafoil et al., 2019). در این آزمایش نیز پرایمینگ بذر با پلاسمای سرد هلیوم اثرات منفی تنش شوری بر درصد جوانه‌زنی بذرها گوار را به طور متفاوت و معنی‌داری کاهش داد (شکل ۲).

سپس فیلتر گردید. در نهایت این محلول قابل تزریق به دستگاه فلیم فتوتمتر می‌باشد. برای محاسبه غلظت سدیم و پتانسیم از منحنی استاندارد استفاده شد.

تجزیه آماری

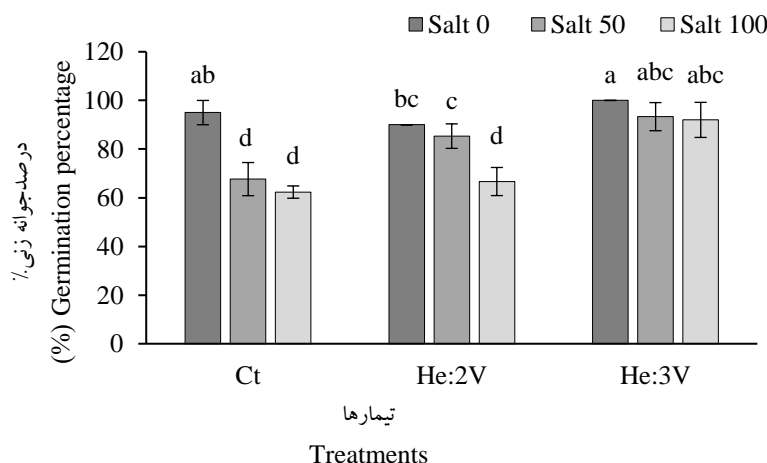
تجزیه واریانس در قالب طرح کاملاً تصادفی در سه تکرار اجرا شد. میانگین‌ها با استفاده از آزمون دانکن مقایسه شدند ($p<0.05$). داده‌ها با استفاده از برنامه Excel و SPSS مورد تجزیه و تحلیل آماری قرار گرفت.

نتایج و بحث

اثر بر خصوصیات مورفولوژیکی

درصد جوانه‌زنی

نتایج تجزیه واریانس نشان داد که درصد جوانه‌زنی به طور معنی‌دار ($P<0.05$) تحت تأثیر تنش شوری و پیش تیمار بذرها توسط پلاسمای سرد بود (جدول ۱). نتایج نشان داد که با افزایش تنش شوری درصد جوانه‌زنی کاهش یافت و با استفاده از پرایمینگ بذرها با پلاسمای سرد افزایش معنی‌داری یافت (شکل ۲). به طوریکه کمترین درصد جوانه‌زنی ۶۲٪ و در شرایط تنش شوری (به ترتیب در ۱۰۰ و ۵۰ میلی مولار کلرید سدیم) و عدم پیش تیمار و بیشترین درصد جوانه‌زنی ۱۰۰٪ در شرایط پیش تیمار با پلاسمای سرد هلیوم با ولتاژ ۳ ولت و عدم وجود تنش شوری حاصل شد. بیان شده است که جوانه‌زدن بذر



شکل ۲- اثر پرایمینگ بذر با پلاسمای سرد هلیوم با ولتاژهای ۲ و ۳ ولت بر درصد جوانه‌زنی بذر گوار تحت تنش شوری.

Figure 2- Effect of seed priming with helium cold plasma by voltage of 2 and 3 volt on germination percentage of guar (*Cyamopsis tetragonoloba*) seeds under salt stress

جدول ۱- تجزیه واریانس (ANOVA) صفات مورد مطالعه در گیاه گوار تحت تیمار پلاسمای سرد و شرایط تنش شوری.

Table 1- Analysis of variance (ANOVA) for traits studied in guar plant under cold plasma treatment and salinity stress conditions.

صفات مورد مطالعه Traits studied	منابع تغییرات Source of variations	درجه آزادی df	میانگین مربوط Mean Square	نتیجه آزمون Sig.
درصد جوانهزنی Germination percentage	بین گروه‌ها Between groups	8	600.398	**
سرعت جوانهزنی Germination rate	بین گروه‌ها Between groups	8	0.136	**
طول ریشه‌چه Root length	بین گروه‌ها Between groups	8	2476.892	**
طول ساقه‌چه Shoot length	بین گروه‌ها Between groups	8	94.091	**
وزن تر ریشه‌چه Root fresh weight	بین گروه‌ها Between groups	8	0.001	**
وزن تر ساقه‌چه Shoot fresh weight	بین گروه‌ها Between groups	8	0.002	**
وزن خشک ریشه‌چه Root dry weight	بین گروه‌ها Between groups	8	0.000	**
وزن خشک ساقه‌چه Shoot dry weight	بین گروه‌ها Between groups	8	0.000	**
کلروفیل a Chlorophyll a	بین گروه‌ها Between groups	8	178	**
کلروفیل b Chlorophyll b	بین گروه‌ها Between groups	8	0.014	**
کلروفیل کل Total chlorophyll	بین گروه‌ها Between groups	8	0.290	**
کاروتینیدها Carotenoids	بین گروه‌ها Between groups	8	3.159	**
محتوای پتاسیم ریشه‌چه Root K ⁺ content	بین گروه‌ها Between groups	8	176.192	**
محتوای پتاسیم برگ Leaf K ⁺ content	بین گروه‌ها Between groups	8	36.463	**
محتوای سدیم ریشه‌چه Root Na ⁺ content	بین گروه‌ها Between groups	8	9.183	**
محتوای سدیم برگ Leaf Na ⁺ content	بین گروه‌ها Between groups	8	9.768	**

ns، * و ** به ترتیب فاقد معنی داری، معنی دار شدن در سطح آماری ۵ و ۱ درصد.

ns, * and **: no significance, significance at the statistical level of 5 and 1 percent, respectively.

گرفت. پرایمینگ بذر با پلاسمای باعث شد که سرعت جوانهزنی در شرایط تنش شوری ۱۰۰ میلی‌مولار در هردو اختلاف پتانسیل ۲ و ۳ ولت افزایش معنی داری نشان دهد. تحقیقات زیادی در خصوص اثرات پلاسمای سرد بر افزایش سرعت جوانهزنی انجام شده است که با نتایج این تحقیق مطابقت دارد. بررسی ها نشان داده است که تیمار پلاسمای می‌تواند سرعت جوانهزنی را در شرایط خشکی، شوری و سرماء بهبود بخشد

سرعت جوانهزنی

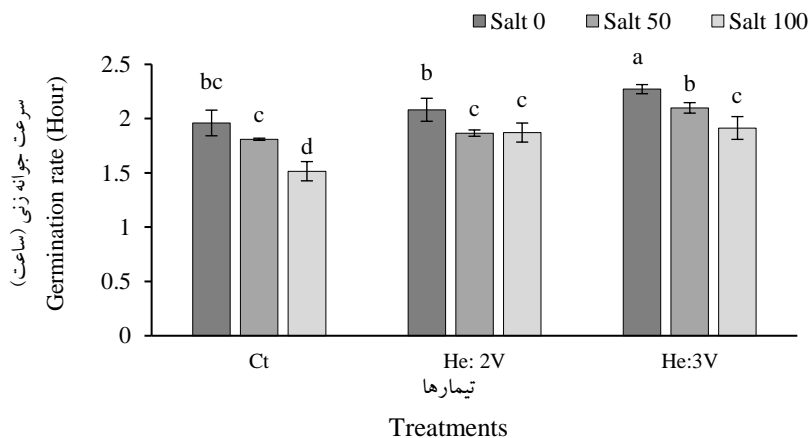
نتایج تجزیه واریانس نشان داد که سرعت جوانهزنی بطور معنی داری ($P<0.05$) تحت تاثیر اثرات تنش شوری قرار گرفت (جدول ۱). نتایج نشان داد که با افزایش شوری از صفر به ۱۰۰ میلی‌مولار سرعت جوانهزنی کاهش یافت (شکل ۳). این در حالی است که در تنش شوری ۵۰ میلی‌مولار از نظر سرعت جوانهزنی تفاوت معنی داری مشاهده نشد. نتایج تحقیق همچنین نشان داد که سرعت جوانهزنی بطور معنی دار تحت تاثیر پلاسمای سرد قرار

بذر افزایش می‌یابد. RNS از طریق آکوآپورین‌ها (AQP) نفوذ می‌کند که باعث افزایش محتوای کمپلکس نیتروژن می‌شود. بنابراین می‌توان فرض کرد که افزایش مقدار نیتروژن به جذب بهتر آب کمک می‌کند (Billah et al., 2020).

افزایش سرعت جوانهزنی بذر به دنبال تیمار با پلاسمای سرد در گندم نیز گزارش شده است (Sera et al., 2010). محققان دیگری نشان دادند که تیمار (۷ دقیقه) پلاسمای سرد (در فشار کم) محتوای GA (اسید جیرلیک) و سرعت جوانهزنی بذرهاي آفتتابگردن را در حدود ۱۰-۲۴ درصد افزایش داد (Mildažienė et al., 2019). در بررسی دیگری بر بذرهاي انگور بیان شد که تمام تیمارهای پلاسما سرعت جوانهزنی را نسبت به تیمار شاهد تا بیش از دو برابر افزایش دادند و گفته شد که اثر پلاسما تا حدودی به دلیل تسريع در جذب آب است که این امر استقرار و رشد نهال را بهبود می‌بخشد (Tounekti et al., 2018). بر اساس نتایج این آزمایش نیز تیمار بذرها با پلاسمای سرد منجر به افزایش سرعت جوانهزنی (در شاهد و تنفس شوری) شد.

(ROS). گونه‌های اکسیژن فعال (Perea-Brenes et al., 2023) بسته به دوز آنها عملکرد مثبت و منفی در جوانهزنی بذر و رشد گیاه دارند. از سوی دیگر، گونه‌های نیتروژن فعال (RNS) نیز در شکستن خواب بذر، جوانهزنی بذر و همچنین در مراحل مختلف رشد و نمو گیاه از سوی دیگر، گونه‌های نیتروژن فعال (RNS) نیز نقش مهمی در شکستن خواب بذر، جوانهزنی بذر و همچنین در مراحل مختلف رشد و نمو گیاه نقش مهمی دارند. همچنین مشاهده شده است که ROS و RNS هر دو در مسیرهای سیگنالینگ مربوط به جوانهزنی بذر و رشد گیاه شرکت می‌کنند (Muller et al., 2009).

اگرچه مکانیسم جذب آب توسط بذرهاي تیمار شده با پلاسما بسیار پیچیده است اما پوشش بذرها حاوی میکروپل است بنابراین منطقی است که در نظر بگیریم که ممکن است به دلیل فعل و انفعالات با گونه‌های اکسیژن و یا نیتروژن فعال شده با پلاسما، منافذ بذر بزرگتر شوند و به جذب بیشتر و سریع تر آب کمک کنند. به دلیل تیمار پلاسما، میزان گونه‌های فعال نیتروژن (RNS) در پوشش



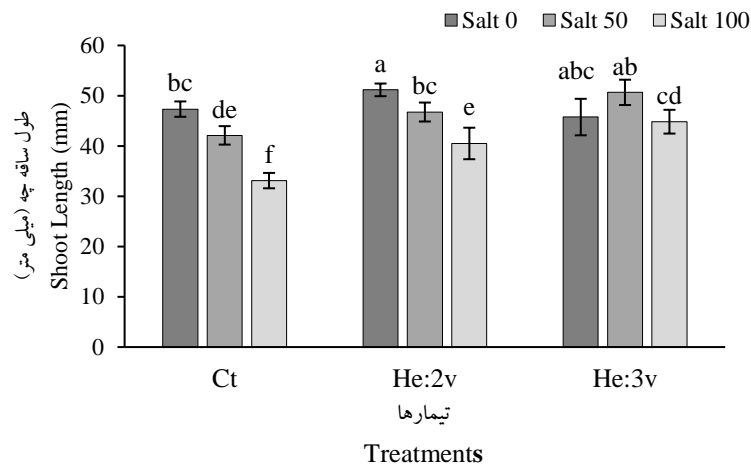
شکل ۳- اثر پرایمینگ بذر با پلاسمای سرد هلیوم با ولتاژهای ۲ و ۳ ولت بر سرعت جوانهزنی بذر گوار تحت تنفس شوری.

Figure 3- Effect of seed priming with helium cold plasma by voltage of 2 and 3 volt on germination rate of guar (*Cyamopsis tetragonoloba*) seeds under salt stress.

است کمترین طول ساقه‌چه مربوط به شوری ۱۰۰ میلی‌مولا (۳۳) میلی‌متر) بود (شکل ۴). بیشترین طول ساقه‌چه در پیش تیمار پلاسمای سرد هلیوم با ولتاژ ۲ ولت در شرایط عدم تنفس شوری بدست آمد که از نظر آماری با پلاسمای سرد ۳ ولت هلیوم تفاوت معنی‌داری نداشت.

طول ساقه‌چه

با توجه به نتایج حاصل از تجزیه واریانس، اثرات تنفس شوری و پیش تیمار بذرها با پلاسمای سرد بر طول ساقه‌چه معنی‌دار بود (جدول ۱). نتایج حاصل از تحقیق حاضر نشان داد که شوری باعث کاهش معنی‌دار طول ساقه‌چه نسبت به گیاهان شاهد شده باشد.



شکل ۴- اثر پرایمینگ بذر با پلاسمای سرد هلیوم با ولتاژهای ۲ و ۳ ولت بر طول ساقه چه گیاه گوار تحت تنش شوری.

Figure 4- Effect of seed priming with helium cold plasma by voltage of 2 and 3 volt on shoot length of guar (*Cyamopsis tetragonoloba*) plant under salt stress.

داشت (جدول ۱). نتایج نشان داد کمترین طول ریشه چه (۳۰ میلی متر) در تنش شوری ۱۰۰ میلی مولار و بیشترین طول ریشه چه (۱۰۵ میلی متر) در شرایط عدم تنش شوری و پیش تیمار با (پلاسمای سرد هلیوم با ولتاژ ۳ ولت حاصل شد (شکل ۶). در شرایط شوری ۵۰ و ۱۰۰ میلی مولار هردو پیش تیمار پلاسمای هلیوم (۲ و ۳ ولت) نسبت به شرایط عدم پیش تیمار افزایش معنی داری داشتند.

تحقیقات نشان داده است که RONS تولید شده از CAPP می تواند سرعت جوانهزنی، مورفولوژی گیاه (طول ساقه و ریشه، سطح برگ ...)، بیان ژن و فرآیندهای بیوشیمیایی (تغییر در هورمون ها، اسیدهای آمینه، آنتی اکسیدان ها، سطح قند محلول، محتوای کلروفیل ...) را تغییر دهد. به عنوان مثال، در حضور تیمار پلاسما فعالیت آنتی اکسیدانی بالاتر، تولید هورمون های رشد و سنتز متابولیت ها منجر به بهبود درصد جوانهزنی و افزایش رشد و عملکرد گیاه خواهد شد (Attri et al., 2020). همچنین مشخص شده است که تیمارهای خفیف پلاسما رشد اولیه را تسريع می کنند و نسبت ریشه به ساقه را افزایش می دهد (Dobrin et al., 2015).

نتایج یک تحقیق بر روی بذرهای برنج (*Oryza sativa* L.) نشان داد که قرار گرفتن دانه های برنج در معرض مستقیم پلاسمای DBD باعث تسريع در جوانهزنی و افزایش طول ساقه چه و ریشه چه شد (El Shaer et al., 2023).

نتایج حاضر

نتایج یک تحقیق نشان داد که پیش تیمار بذرهای گندم با پلاسمای DBD باعث بهبود رشد بذرهای گندم، افزایش طول ساقه، طول ریشه و وزن تر و خشک نسبت به تیمار شاهد شد (Guo et al., 2018). همچنین در این آزمایش طول ساقه چه گیاه چه های گوار به طور معنی داری تحت تنش تیمار پلاسمای سرد قرار گرفت. شکل شماره ۵ تصویر گرفته شده نیز کاهش رشد گیاه چه تحت تنش شوری را به وضوح نشان می دهد. در این تصویر مشاهده می شود که پیش تیمار بذرها با پلاسما در هردو شرایط عدم شوری و شوری ۵۰ و ۱۰۰ میلی مولار اثر معنی داری بر رشد گیاه چه ها در مقایسه با نمونه های پیش تیمار نشده داشته است.

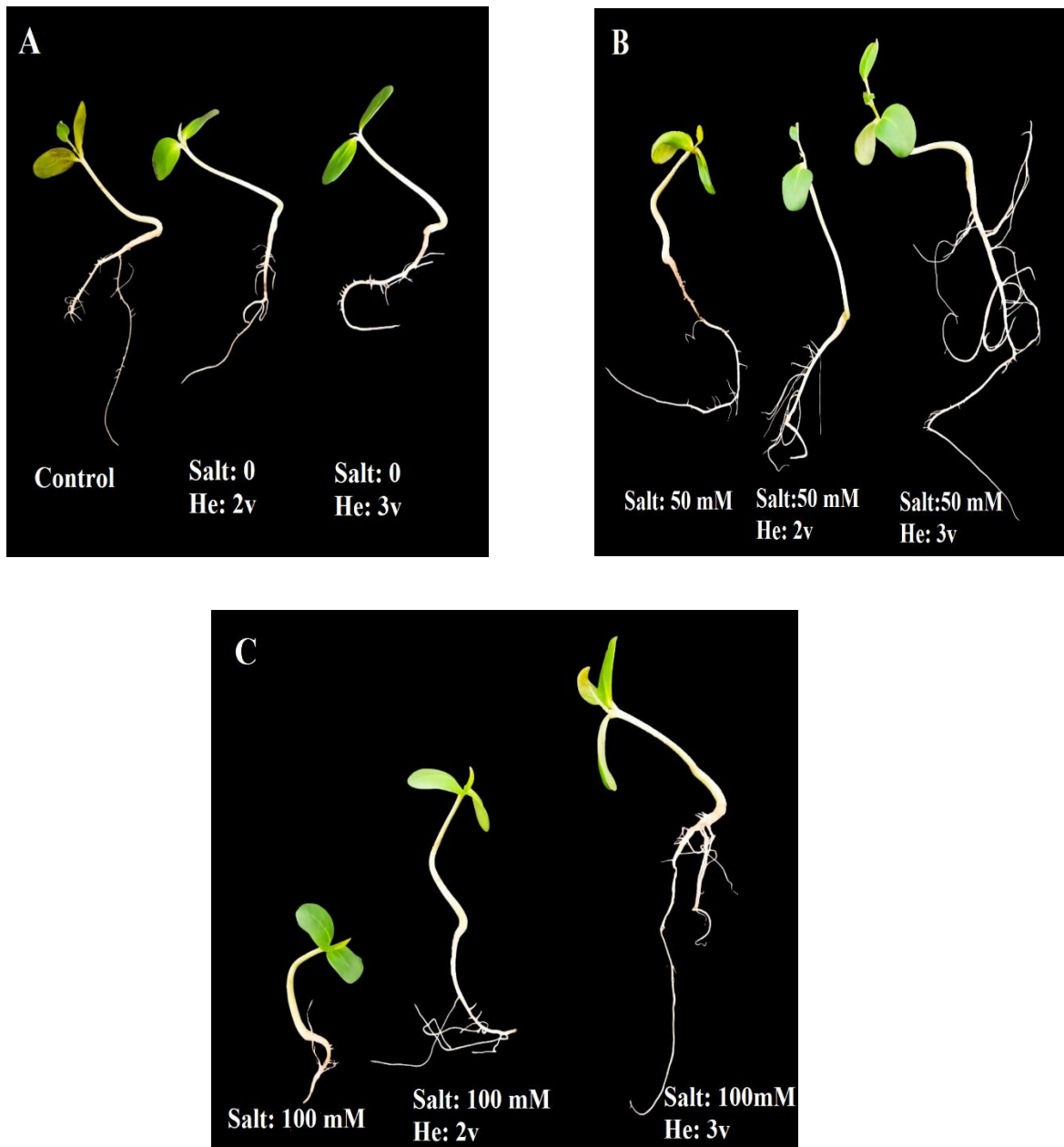
در پژوهشی دیگر بر روی جوانهزنی و رشد ماش سیاه (Vigna mungo L.) گزارش شده است که افزایش طول ریشه چه و ساقه چه در تیمار پلاسمای DBD به دلیل افزایش محتوای نیتروژن در پوشش بذرهای تیمار شده می باشد. به این صورت که با تیمار پلاسما محتوای نیتروژن در بذرها افزایش می یابد و این افزایش از طریق تولید اسید آمینه و پروتئین ها باعث بهبود رشد گیاه چه ها می شود (Billah et al., 2020).

طول ریشه چه

نتایج تجزیه واریانس نشان داد که تنش شوری و پیش تیمار پلاسمای سرد در سطح ۵ درصد تاثیر معنی داری بر طول ریشه چه

خشک اندام‌های هوایی زمانی که تحت پیش تیمار پلاسما قرار گرفتند در مقایسه با شاهد افزایش بیشتری نشان دادند.

نشان داد که استفاده از پیش تیمار پلاسما باعث افزایش طول ریشه‌چه گیاهچه‌های گوار در شرایط مختلف شوری شد. در مجموع، طول و وزن خشک ریشه‌ها نسبت به طول و وزن



شکل ۵- نمونه‌هایی از عکس‌های گرفته شده از گیاهچه‌های گوار ۷ روزه تحت شرایط کنترل (A)، شوری ۵۰ میلی‌مولار (B) و شوری ۱۰۰ میلی‌مولار (C).
Figure 5- Examples of photographs taken from 7 days-old guar seedlings under control (A), 50 mM salinity (B) and 100mM salinity (C) condition.

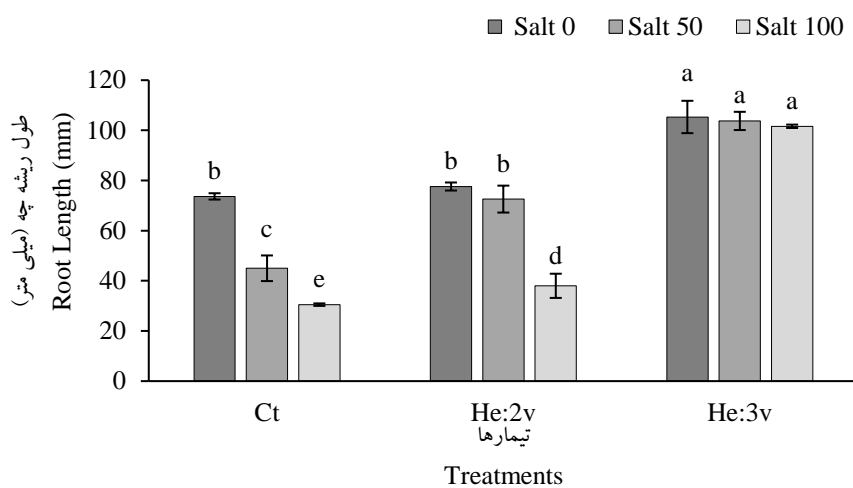
پلاسمای سرد بود (جدول ۱). در این پژوهش کاهش وزن تر ریشه‌چه از ۰/۰۵۶ گرم در نمونه‌های کنترل به ۰/۰۱۸ گرم در نمونه‌های تحت تنش شوری ۱۰۰ میلی‌مولار مشاهده شد (شکل

وزن تر ریشه‌چه و ساقه‌چه
براساس نتایج تجزیه واریانس، وزن تر ریشه‌چه و ساقه‌چه به طور معنی‌داری ($P < 0.05$) تحت تاثیر تنش شوری و پیش تیمار

کنترل اختلاف معنی‌داری نداشت (شکل ۸). همچنین بیشترین وزن تر ساقه‌چه در شوری ۱۰۰ میلی‌مولار مربوط به اختلاف پتانسیل ۳ ولت هلیوم بود که از نظر آماری با اختلاف پتانسیل ۲ ولت هلیوم یکسان بود.

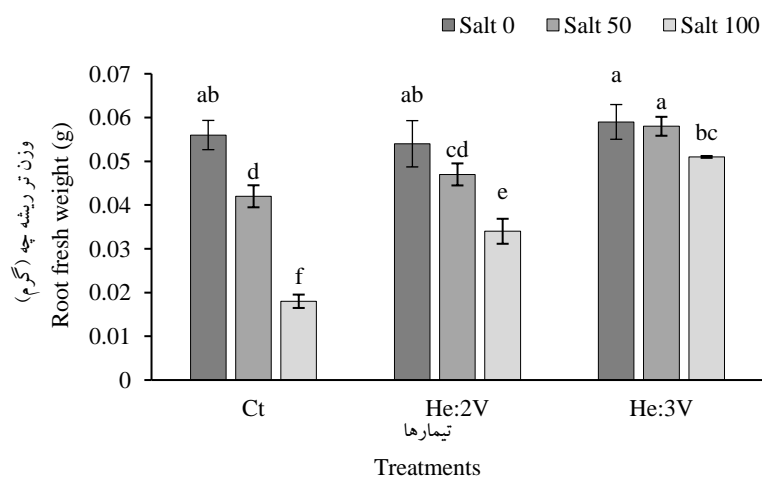
بر اساس نتایج یک تحقیق، تأثیر مثبت تیمار پلاسمای سرد بر رشد بر رشد اولیه نهال‌ها (طول، وزن تر و خشک) مشاهده شده است (Henselová et al., 2012) که با نتایج این تحقیق مطابقت دارد.

۷). پیش تیمار بذر با پلاسمای ۲ و ۳ ولت باعث افزایش وزن ریشه‌چه در شرایط تنفس شوری ۱۰۰ میلی‌مولار گردید. در مقایسه دو نوع پلاسمای سرد بکار رفته، اثر پلاسمای سرد با ولتاژ ۳ ولت بیشتر از اثر پلاسمای سرد با ولتاژ ۲ ولت بود. بیشترین وزن تر ریشه‌چه در تنفس شوری ۵۰ میلی‌مولار و ۱۰۰ میلی‌مولار به ترتیب مربوط به پیش تیمار با پلاسمای سرد گاز هلیوم با اختلاف پتانسیل ۳ ولت (به ترتیب ۰/۰۵۸ گرم و ۰/۰۵۱ گرم) بود. در شرایط فاقد تنفس شوری وزن تر ساقه‌چه در انواع تیمار پلاسما نسبت به شرایط



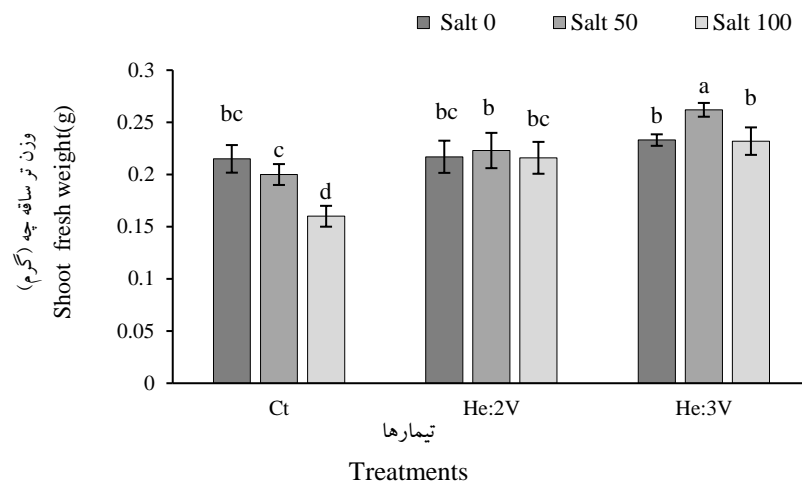
شکل ۶- اثر پرایمینگ بذر با پلاسمای سرد هلیوم با ولتاژهای ۲ و ۳ ولت بر طول ریشه‌چه گیاه گوار تحت تنفس شوری.

Figure 6- Effect of seed priming with helium cold plasma by voltage of 2 and 3 volt on root length of guar (*Cyamopsis tetragonoloba*) plant under salt stress.



شکل ۷- اثر پرایمینگ بذر با پلاسمای سرد هلیوم با ولتاژهای ۲ و ۳ ولت بر وزن تر ریشه‌چه گیاه گوار تحت تنفس شوری.

Figure 7- Effect of seed priming with helium cold plasma by voltage of 2 and 3 volt on root fresh weight of guar (*Cyamopsis tetragonoloba*) plant under salt stress.



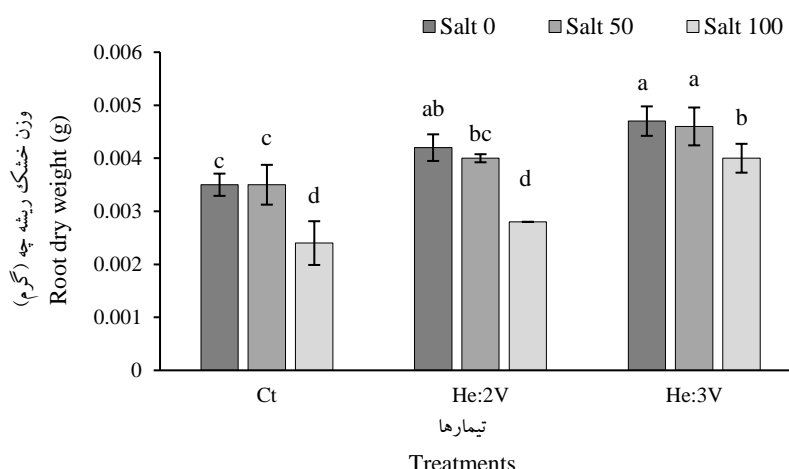
شکل ۸- اثر پرایمینگ بذر با پلاسمای سرد هلیوم با ولتاژهای ۲ و ۳ ولت بر وزن ترساقه چه گیاه گوار تحت تنش شوری.

Figure 8- Effect of seed priming with helium cold plasma by voltage of 2 and 3 volt on shoot fresh weight of guar (*Cyamopsis tetragonoloba*) plant under salt stress.

ریشه چه در شوری ۵۰ میلی مولار و ۱۰۰ میلی مولار مربوط به اختلاف پتانسیل ۳ ولت هلیوم (به ترتیب ۰/۰۰۴۶ و ۰/۰۰۴۰ گرم) بود. وزن خشک ریشه چه در سطح شوری صفر در هر دو تیمار هلیوم از نظر آماری تفاوت معناداری با کنترل نداشتند (شکل ۱). بیشترین میزان وزن خشک ریشه چه در هر دو سطح تنش شوری (۵۰ و ۱۰۰ میلی مولار) مربوط به اختلاف پتانسیل ۳ ولت هلیوم بود (به ترتیب ۰/۰۴۵ و ۰/۰۴۲ گرم).

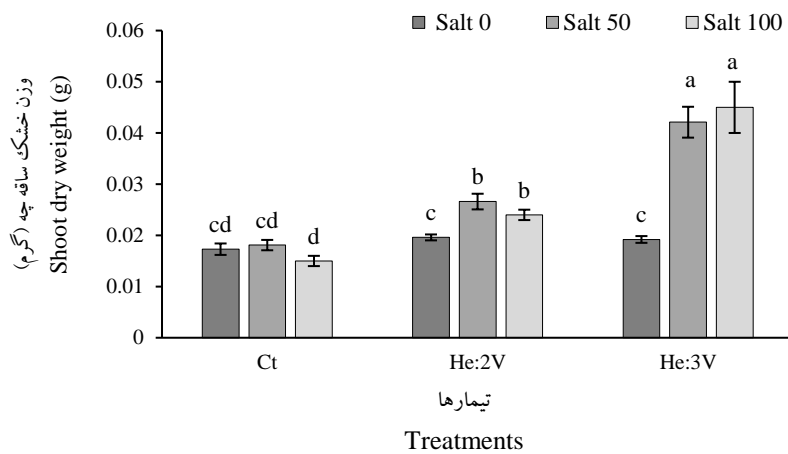
وزن خشک ریشه چه و ساقه چه

بر اساس نتایج حاصل از تجزیه واریانس، اثر تنش شوری و پیش تیمار پلاسمای سرد بر وزن خشک ریشه چه و ساقه چه در سطح احتمال پنج درصد معنی دار بود (جدول ۱). کاهش وزن خشک ریشه چه از ۰/۰۰۳۵ گرم در کنترل به ۰/۰۰۲۴ گرم در شوری ۱۰۰ میلی مولار متغیر بود (شکل ۹). در شوری ۵۰ میلی مولار، وزن خشک ریشه چه و ساقه چه از نظر آماری تفاوتی با سطح بدون تنش نداشت. همچنین بالاترین میزان وزن خشک



شکل ۹- اثر پرایمینگ بذر با پلاسمای سرد هلیوم با ولتاژهای ۲ و ۳ ولت بر وزن خشک ریشه چه گیاه گوار تحت تنش شوری.

Figure 9- Effect of seed priming with helium cold plasma by voltage of 2 and 3 volt on shoot dry weight of guar (*Cyamopsis tetragonoloba*) plant under salt stress.



شکل ۱۰- اثر پرایمینگ بذر با پلاسمای سرد هلیوم با ولتاژهای ۲ و ۳ ولت بر وزن خشک ساقه‌چه گیاه گوار تحت تنش شوری.

Figure 10- Effect of seed priming with helium cold plasma by voltage of 2 and 3 volt on shoot dry weight of guar (*Cyamopsis tetragonoloba*) plant under salt stress.

اختلاف پتانسیل ۳ ولت هلیوم در هردو شرایط تنفس شوری و بدون شوری نسبت به شاهد افزایش یافته است. همچنین کلروفیل a/b در شوری ۵۰ میلی مولار در بذرها تحت تیمار با پلاسمای DBD هلیوم با اختلاف پتانسیل ۲ ولت نسبت به شاهد افزایش معنی داری نشان داد. در پژوهشی گزارش شده است که تیمار پلاسمای سرد در گیاه شبیله منجر به افزایش محتوای کلروفیل و کاروتونید شد که با نتایج حاصل از این تحقیق مطابقت داشت (Ebrahimibasabi et al., 2020). در آزمایشی دیگر گزارش شد که مقدار نسبی کلروفیل در نهالهای اسفناج رشد یافته از دانه های تیمار شده با پلاسمای DBD در تیمارهای ۳۰ ثانیه، ۱ دقیقه و ۳ دقیقه افزایش یافت (Ji et al., 2016). در این تحقیق نیز پیش تیمار بذر با پلاسمای سرد اتمسفری باعث افزایش غلظت کلروفیل نسبت تیمار شاهد شد. برخی از محققین دلیل آن را به افزایش محتوای نیتروژن بذر نسبت دادند به این صورت که پیش تیمار بذر توسط پلاسمای سرد می تواند محتوای نیتروژن را در بذرها افزایش دهد و بذرها غنی شده از نیتروژن نیز اسیدهای آمینه و پروتئین کافی را از طریق متابولیسم کمپلکس نیتروژن تولید و مواد مغذی مورد نیاز را تامین می کنند و در نتیجه رشد گیاهچه و غلظت کلروفیل در برگ افزایش می یابد (Billah et al., 2020). در این تحقیق اثرات تنفس شوری، پیش تیمار بذر با پلاسمای سرد بر محتوای سدیم و پتاسیم برگ و ریشه معنی دار بود (جدول ۱).

با توجه به نتایج حاصل از یک آزمایش گزارش شد که تیمارهای پلاسمای سرد مثبتی بر جوانهزنی و رشد گیاهچه سویا داشتند و طول ساقه‌چه و ریشه‌چه، وزن خشک اندام هوایی و وزن خشک ریشه، نسبت به شاهد افزایش معنی داری داشت. همچنین مشاهده شد که پلاسما تأثیر بیشتری بر وزن خشک ریشه‌ها نسبت به اندام هوایی دارد (Ling et al., 2014). در این مطالعه نیز طول و وزن خشک ریشه‌ها نسبت به طول و وزن خشک اندام‌های هوایی زمانی که تحت تیمار پلاسما قرار گرفتند در مقایسه با شاهد افزایش بیشتری نشان دادند.

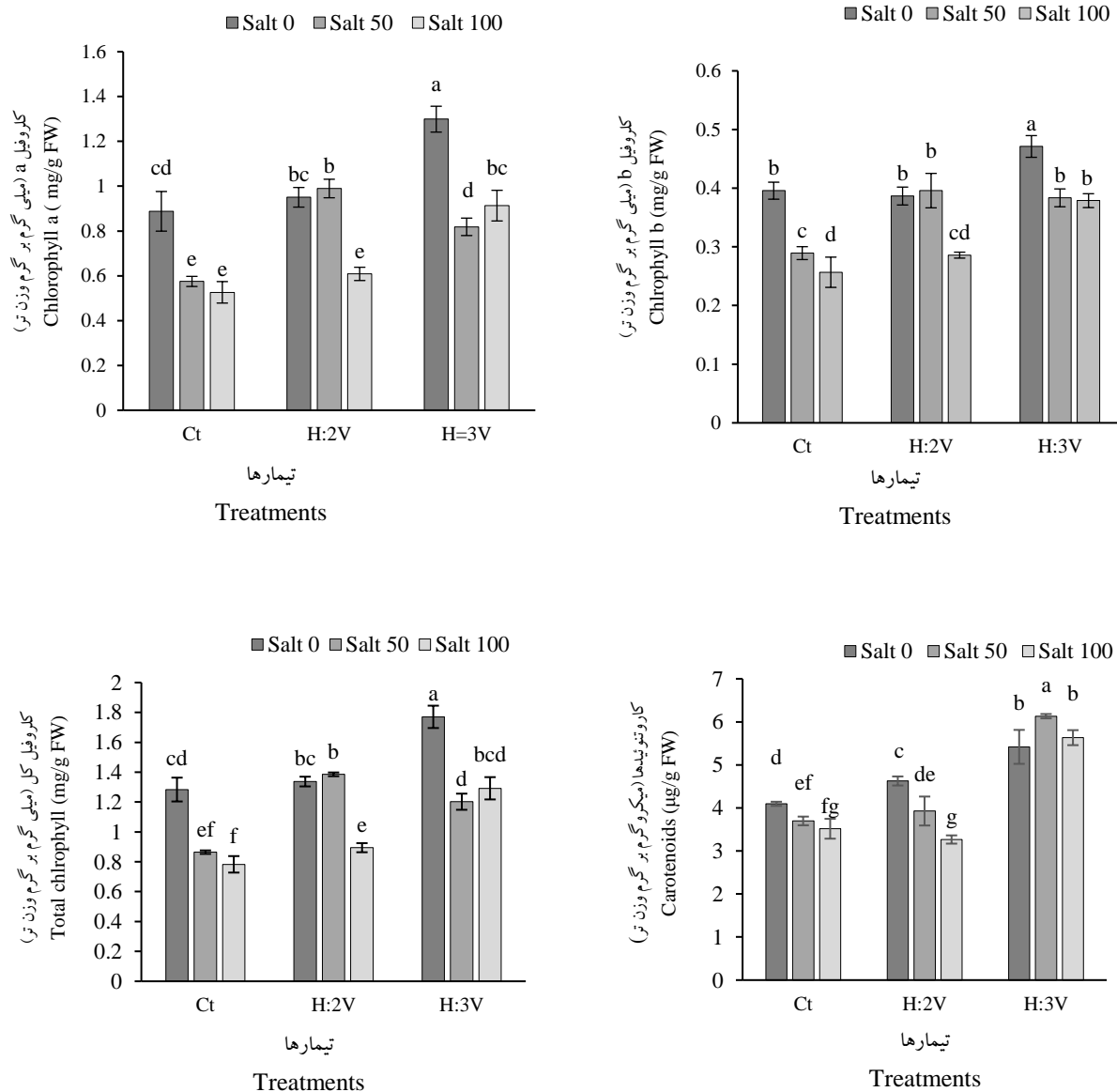
اثر بر خصوصیات فیزیولوژیکی

اثر بر محتوای کلروفیل A و B و کل و کاروتونوئید

بر اساس نتایج تجزیه واریانس، غلظت رنگدانه‌های فتوستنتزی (کلروفیل a/b و کل) و کاروتونوئید به طور معنی داری تحت تأثیر تنفس شوری و پیش تیمار پلاسمای سرد بود (جدول ۱). بررسی نتایج نشان داد که با افزایش تنفس شوری غلظت رنگیزه‌های فتوستنتزی کاهش یافت (شکل ۱۱). بیشتر غلظت رنگیزه‌های فتوستنتزی از شوری صفر میلی مولار و پیش تیمار پلاسمای سرد هلیوم با اختلاف پتانسیل ۳ ولت به دست آمد و کمترین مقدار از تنفس شوری ۱۰۰ میلی مولار حاصل گردید. غلظت رنگیزه‌های فتوستنتزی در تمامی بذرها تیمار شده با پلاسمای DBD با

برگ در حضور شوری شد. همچنین باعث کاهش قابل توجهی در محتوای سدیم برگ و در نتیجه بهبود نسبت Na^+ / K^+ در برگ ها شد.

۱). میزان سدیم (Na^+) ریشه و برگ با افزایش شوری افزایش یافت و محتوای پتاسیم (K^+) برگ و ریشه با افزایش شوری کاهش یافت (شکل ۱۲). استفاده از پلاسمای باعث افزایش پتاسیم



شکل ۱۱- اثر پرایمینگ بذر با پلاسما سرد هلیوم با ولتاژهای ۲ و ۳ ولت بر غلظت رنگیزه های فتوسترزی گیاه گوار تحت تنش شوری.

Figure 11- Effect of seed priming with helium cold plasma by voltage of 2 and 3 volt on concentration of photosynthetic pigments guar (*Cyamopsis tetragonoloba*) plant under salt stress.

پلاسما می تواند افزایش یابد که با نتایج حاصل از این تحقیق مطابقت دارد.

اثر بر محتوای سدیم و پتاسیم برگ و ریشه Jiang et al. (2018) با بررسی تاثیر پلاسما بر جذب مواد غذی در گوجه فرنگی دریافتند که جذب پتاسیم پس از تیمار

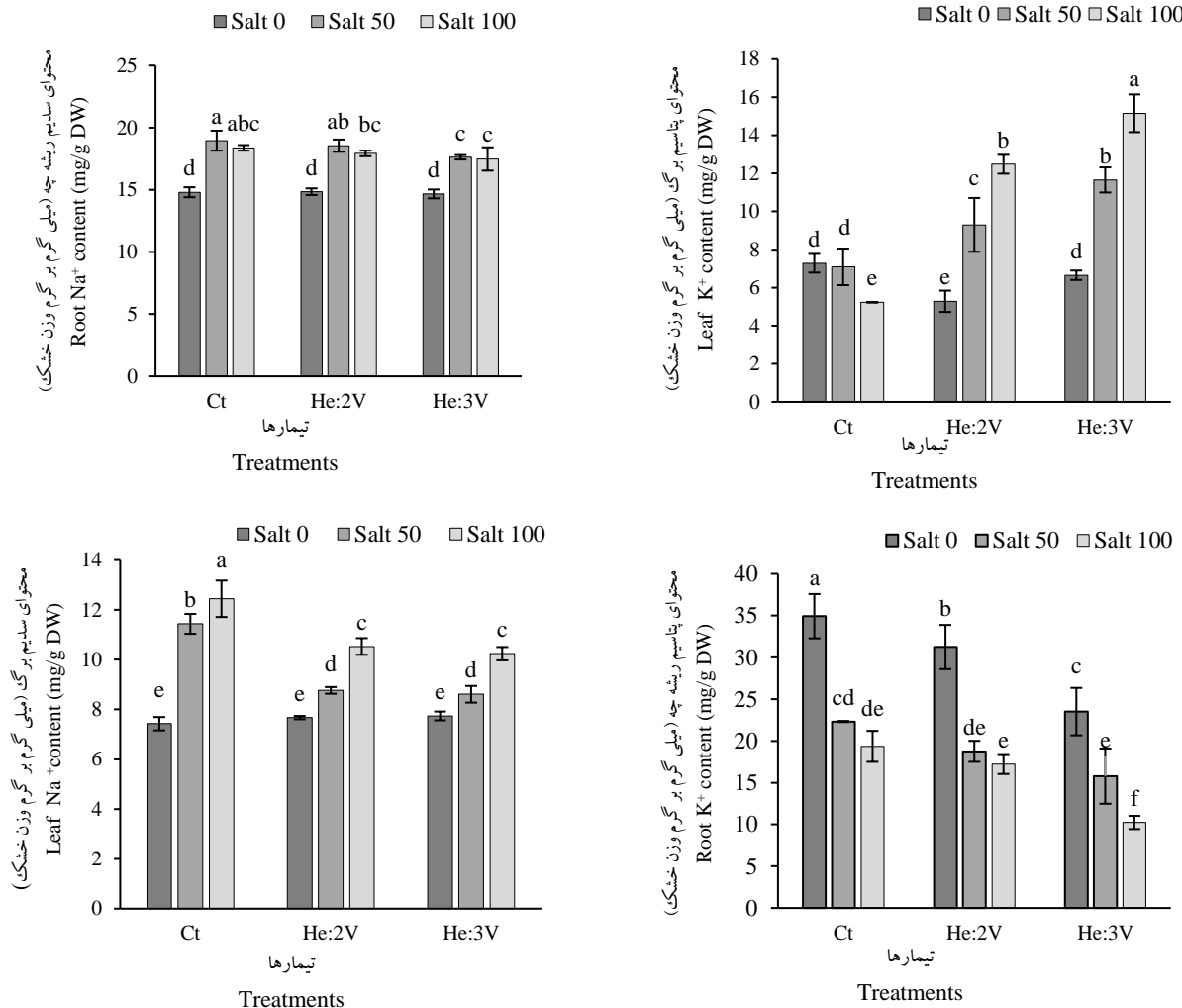
شکل ۱۲- اثر پرایمینگ بذر با پلاسمای سرد هلیوم با ولتاژ ۲ و ۳ ولت بر محتوای Na^+ و K^+ برگ و ریشه گیاه گوار تحت تنش شوری.

Figure 12- Effect of seed priming with helium cold plasma by voltage of 2 and 3 volt on Shoot and root Na^+ and K^+ content of guar (*Cyamopsis tetragonoloba*) plant under salt stress.

تشنگی مورد توجه قرار گیرد.

تعارض منافع

نویسنده‌گان این مقاله اعلام می‌دارند که هیچ گونه تعارض منافعی در رابطه با نگارش و یا انتشار این مقاله ندارند.

References

- Acharya, B. R., Sandhu, D., Dueñas, C., Ferreira, J. F., & Grover, K. K. (2022). Deciphering molecular mechanisms involved in salinity tolerance in Guar (*Cyamopsis tetragonoloba* (L.) Taub.) Using transcriptome analyses. *Plants*, 11(3), 291. <https://doi.org/10.3390/plants11030291>

نتیجه‌گیری گلی

نتایج آزمایش نشان داد افزایش تنش شوری تاثیر منفی بر کلیه خصوصیات مورفولوژیکی و فیزیولوژیکی گیاهچه گوار داشت. پرایمینگ بذر با پلاسمای سرد باعث بهبود جوانهزنی و رشد و عملکرد گیاهچه گوار شد. در این آزمایش استفاده از پلاسمای DBD هلیوم با توان الکتریکی ۱/۴۴ وات در مدت زمان ۶۰ ثانیه بهترین نتیجه را در افزایش جوانهزنی و بهبود رشد گیاهچه‌های گوار داشت. بنابراین میتوان نتیجه گرفت که پرایمینگ بذر با پلاسمای سرد منجر به کاهش اثرات منفی تنش شوری بر رشد گیاهچه‌های گوار می‌شود و می‌تواند به عنوان یک راهکار مفید جهت بهبود جوانهزنی و استقرار بهتر گیاهچه گوار در شرایط

- Adhikari, B., Adhikari, M., & Park, G. (2020).** The effects of plasma on plant growth, development, and sustainability. *Applied Sciences*, 10(17), 6045. <https://doi.org/10.3390/app10176045>
- Attri, P., Ishikawa, K., Okumura, T., Koga, K., & Shiratani, M. (2020).** Plasma agriculture from laboratory to farm: A review. *Processes*, 8(8), 1002. <https://doi.org/10.3390/pr8081002>
- Burin, M. J., Simmons, G. G., Ceja, H. G., Zweben, S. J., Nagy, A., & Brunkhorst, C. (2015).** On filament structure and propagation within a commercial plasma globe. *Physics of Plasmas*, 22(5). <https://doi.org/10.1063/1.4919939>
- Brandenburg, R. (2017).** Dielectric barrier discharges: progress on plasma sources and on the understanding of regimes and single filaments. *Plasma Sources Science and Technology*, 26(5), 053001. <https://doi.org/10.1088/1361-6595/aa6426>
- Bafoil, M., Le Ru, A., Merbahi, N., Eichwald, O., Dunand, C., & Yousfi, M. (2019).** New insights of low-temperature plasma effects on germination of three genotypes of *Arabidopsis thaliana* seeds under osmotic and saline stresses. *Scientific reports*, 9(1), 8649. <https://doi.org/10.1038/s41598-019-44927-4>
- Billah, M., Sajib, S. A., Roy, N. C., Rashid, M. M., Reza, M. A., Hasan, M. M., & Talukder, M. R. (2020).** Effects of DBD air plasma treatment on the enhancement of black gram (*Vigna mungo* L.) seed germination and growth. *Archives of biochemistry and biophysics*, 681, 108253. <https://doi.org/10.1016/j.abb.2020.108253>
- Choudhury, F. K., Rivero, R. M., Blumwald, E., & Mittler, R. (2017).** Reactive oxygen species, abiotic stress and stress combination. *The Plant Journal*, 90(5), 856-867. <https://doi.org/10.1111/tpj.13299>
- Cui, D., Yin, Y., Wang, J., Wang, Z., Ding, H., Ma, R., & Jiao, Z. (2019).** Research on the physio-biochemical mechanism of non-thermal plasma-regulated seed germination and early seedling development in *Arabidopsis*. *Frontiers in Plant Science*, 10, 1322. <https://doi.org/10.3389/fpls.2019.01322>
- Da Silva, A. R. M., Farias, M. L., Da Silva, D. L. S., Vitoriano, J. O., De Sousa, R. C., & Alves-Junior, C. (2017).** Using atmospheric plasma to increase wettability, imbibition and germination of physically dormant seeds of *Mimosa Caesalpiniifolia*. *Colloids and Surfaces B: Biointerfaces*, 157, 280-285. <https://doi.org/10.1016/j.colsurfb.2017.05.063>
- Dhayal, M., Lee, S. Y., & Park, S. U. (2006).** Using low-pressure plasma for *Carthamus tinctorium* L. seed surface modification. *Vacuum*, 80(5), 499-506. <https://doi.org/10.1016/j.vacuum.2005.06.008>
- Dobrin, D., Magureanu, M., Mandache, N. B., & Ionita, M. D. (2015).** The effect of non-thermal plasma treatment on wheat germination and early growth. *Innovative Food Science & Emerging Technologies*, 29, 255-260. <https://doi.org/10.1016/j.ifset.2015.02.006>
- El Shaer, M., Abdel-azim, M., El-welily, H., Hussein, Y., Abdelghani, A., Zaki, A., & Mobasher, M. (2023).** Effects of DBD direct air plasma and gliding arc indirect plasma activated mist on germination, and physiological parameters of rice seed. *Plasma Chemistry and Plasma Processing*, 43(5), 1169-1193. <https://doi.org/10.1007/s11090-023-10350-x>
- Ebrahimibasabi, E., Ebrahimi, A., Momeni, M., & Amerian, M. (2020).** Elevated expression of diosgenin-related genes and stimulation of the defense system in *Trigonella foenum-graecum* (fenugreek) by cold plasma treatment. *Scientia Horticulturae*, 271, 109494. <https://doi.org/10.1016/j.scienta.2020.109494>
- Filatova, I., Lyushkevich, V., Goncharik, S., Zhukovsky, A., Krupenko, N., & Kalatskaja, J. (2020).** The effect of low-pressure plasma treatment of seeds on the plant resistance to pathogens and crop yields. *Journal of Physics D: Applied Physics*, 53(24), 244001. <https://doi.org/10.1088/1361-6463/ab7960>
- Gao, X., Zhang, A., Héroux, P., Sand, W., Sun, Z., Zhan, J., ... & Liu, Y. (2019).** Effect of dielectric barrier discharge cold plasma on pea seed growth. *Journal of agricultural and food chemistry*, 67(39), 10813-10822. <https://doi.org/10.1021/acs.jafc.9b03099>
- Gómez-Ramírez, A., López-Santos, C., Cantos, M., García, J. L., Molina, R., Cotrino, J., ... & González-Elipe, A. R. (2017).** Surface chemistry and germination improvement of Quinoa seeds subjected to plasma activation. *Scientific reports*, 7(1), 5924. <https://doi.org/10.1038/s41598-017-06164-5>
- Hartemink, R., Schoustra, S. E., & Rombouts, F. M. (1999).** Degradation of guar gum by intestinal bacteria. *Bioscience and microflora*, 18(1), 17-25. <https://doi.org/10.12938/bifidus1996.18.17>
- Henselová, M., Slováková, L., Martinka, M., & Zahoranová, A. (2012).** Growth, anatomy and enzyme activity changes in maize roots induced by treatment of seeds with low-temperature plasma. *Biologia*, 67, 490-497. <https://doi.org/10.2478/s11756-012-0046-5>
- International Seed Testing Association. (1999).** *International rules for seed testing*. Seed Science and Technology, 27(Supplement).
- Ji, S. H., Choi, K. H., Pengkit, A., Im, J. S., Kim, J. S., Kim, Y. H., Park, Y., Hong, E. J., Jung, S., Choi, E. H., & Park, G. (2016).** Effects of high voltage nanosecond pulsed plasma and micro DBD plasma on seed germination, growth development and physiological activities in spinach. *Archives of Biochemistry and Biophysics*, 605, 117-128. <https://doi.org/10.1016/j.abb.2016.02.028>

- Jiang, J., Jiangang, L. I., & Yuanhua, D. O. N. G. (2018).** Effect of cold plasma treatment on seedling growth and nutrient absorption of tomato. *Plasma Science and Technology*, 20(4), 044007. <https://doi.org/10.1088/2058-6272/aaa0bf>
- Khamseen, N., Onwimol, D., Teerakawanich, N., Dechanupaprittha, S., Kanokbannakorn, W., Hongesombut, K., & Srisonphan, S. (2016).** Rice (*Oryza sativa* L.) seed sterilization and germination enhancement via atmospheric hybrid nonthermal discharge plasma. *ACS applied materials & interfaces*, 8(30), 19268-19275. <https://doi.org/10.1021/acsam.6b04555>
- Li, Y., Wang, T., Meng, Y., Qu, G., Sun, Q., Liang, D., & Hu, S. (2017).** Air atmospheric dielectric barrier discharge plasma induced germination and growth enhancement of wheat seed. *Plasma Chemistry and Plasma Processing*, 37, 1621-1634. <https://doi.org/10.1007/s11090-017-9835-5>
- Lu, X., Naidis, G. V., Laroussi, M., Reuter, S., Graves, D. B., & Ostrikov, K. (2016).** Reactive species in non-equilibrium atmospheric-pressure plasmas: Generation, transport, and biological effects. *Physics Reports*, 630, 1-84. <https://doi.org/10.1016/j.physrep.2016.03.003>
- Lichtenthaler, H. K. (1987).** Chlorophylls and carotenoids: Pigments of photosynthetic biomembranes. In *Methods in enzymology* (Vol. 148, pp. 350-382). Academic Press.
- Ling, L., Jiafeng, J., Jiangang, L., Minchong, S., Xin, H., Hanliang, S., & Yuanhua, D. (2014).** Effects of cold plasma treatment on seed germination and seedling growth of soybean. *Scientific Reports*, 4(1), 5859. <https://doi.org/10.1038/srep05859>
- Meng, Y., Qu, G., Wang, T., Sun, Q., Liang, D., & Hu, S. (2017).** Enhancement of germination and seedling growth of wheat seed using dielectric barrier discharge plasma with various gas sources. *Plasma Chemistry and Plasma Processing*, 37, 1105-1119. <https://doi.org/10.1007/s11090-017-9799-5>
- Mihai, A. L., Dobrin, D., Magureanu, M., & Popa, M. E. (2014).** Positive effect of non-thermal plasma treatment on radish seeds. *Romanian Reports in Physics*, 66(4), 1110-1117.
- Muller, K., Linkies, A., Vreeburg, R. A., Fry, S. C., Krieger-Liszskay, A., & Leubner-Metzger, G. (2009).** In vivo cell wall loosening by hydroxyl radicals during cress seed germination and elongation growth. *Plant Physiology*, 150(4), 1855-1865. <https://doi.org/10.1104/pp.109.139204>
- Mildažienė, V., Aleknavičiūtė, V., Žukienė, R., Paužaitė, G., Naučienė, Z., Filatova, I., ... & Baniulis, D. (2019).** Treatment of common sunflower (*Helianthus annuus* L.) seeds with radio-frequency electromagnetic field and cold plasma induces changes in seed phytohormone balance, seedling development, and leaf protein expression. *Scientific Reports*, 9(1), 6437. <https://doi.org/10.1038/s41598-019-42893-5>
- Nishime, T. M., Wannicke, N., Horn, S., Weltmann, K. D., & Brust, H. (2020).** A coaxial dielectric barrier discharge reactor for treatment of winter wheat seeds. *Applied Sciences*, 10(20), 7133. <https://doi.org/10.3390/app10207133>
- Perea-Brenes, A., García, J. L., Cantos, M., Cotrino, J., González-Elipe, A. R., Gómez-Ramírez, A., & López-Santos, C. (2023).** Germination and first stages of growth in drought, salinity, and cold stress conditions of plasma-treated barley seeds. *ACS Agricultural Science & Technology*, 3(9), 760-770. <https://doi.org/10.1021/acsagscitech.3c00121>
- Randeniya, L. K., & de Groot, G. J. (2015).** Non-thermal plasma treatment of agricultural seeds for stimulation of germination, removal of surface contamination, and other benefits: A review. *Plasma Processes and Polymers*, 12(7), 608-623. <https://doi.org/10.1002/ppap.201500042>
- Roy, N. C., Hasan, M. M., Talukder, M. R., Hossain, M. D., & Chowdhury, A. N. (2018).** Prospective applications of low-frequency glow discharge plasmas on enhanced germination, growth, and yield of wheat. *Plasma Chemistry and Plasma Processing*, 38, 13-28. <https://doi.org/10.1007/s11090-017-9855-1>
- Sharma, G., Sharma, S., Kumar, A., Ala'a, H., Naushad, M., Ghfar, A. A., ... & Stadler, F. J. (2018).** Guar gum and its composites as potential materials for diverse applications: A review. *Carbohydrate Polymers*, 199, 534-545. <https://doi.org/10.1016/j.carbpol.2018.07.053>
- Suthar, J. D., Rajpar, I., Ganjegunte, G. K., Shah, Z. U. H., Niu, G., & Grover, K. (2019).** Germination, growth, and ion uptake of 15 guar accessions under elevated salinity. *Agrosystems, Geosciences & Environment*, 2(1), 1-9. <https://doi.org/10.2134/age2019.03.0020>
- Stolárik, T., Henselová, M., Martinka, M., Novák, O., Zahoranová, A., & Černák, M. (2015).** Effect of low-temperature plasma on the structure of seeds, growth, and metabolism of endogenous phytohormones in pea (*Pisum sativum* L.). *Plasma Chemistry and Plasma Processing*, 35, 659-676. <https://doi.org/10.1007/s11090-015-9627-8>
- Sadhu, S., Thirumdas, R., Deshmukh, R. R., & Annapure, U. S. (2017).** Influence of cold plasma on the enzymatic activity in germinating mung beans (*Vigna radiata*). *LWT*, 78, 97-104. <https://doi.org/10.1016/j.lwt.2016.12.026>
- Shiratani, M., Sarinont, T., Amano, T., Hayashi, N., & Koga, K. (2016).** Plant growth response to atmospheric air plasma treatments of seeds of five plant species. *MRS Advances*, 1(18), 1265-1269. <https://doi.org/10.1557/adv.2016.37>
- Sarinont, T., Amano, T., Attri, P., Koga, K., Hayashi, N., & Shiratani, M. (2016).** Effects of plasma irradiation using various feeding gases on the growth of *Raphanus sativus* L. *Archives of Biochemistry and Biophysics*, 605, 129-140. <https://doi.org/10.1016/j.abb.2016.03.024>

- Švubová, R., Kyzek, S., Medvecká, V., Slováková, L., Gálová, E., & Zahoranová, A. (2020).** Novel insight at the effect of cold atmospheric pressure plasma on the activity of enzymes essential for germination of pea (*Pisum sativum* L. cv. Prophet) seeds. *Plasma Chemistry and Plasma Processing*, 40, 1221-1240. <https://doi.org/10.1007/s11090-020-10089-9>
- Šerá, B., Gajdová, I., Černák, M., Gavril, B., Hnatiuc, E., Kováčik, D., ... & Špatenka, P. (2012, May).** How various plasma sources may affect seed germination and growth. In *2012 13th International Conference on Optimization of Electrical and Electronic Equipment (OPTIM)* (pp. 1365-1370). IEEE. <https://doi.org/10.1109/OPTIM.2012.6231880>
- Selcuk, M., Oksuz, L., & Basaran, P. (2008).** Decontamination of grains and legumes infected with *Aspergillus* spp. and *Penicillium* spp. by cold plasma treatment. *Bioresource Technology*, 99(11), 5104-5109. <https://doi.org/10.1016/j.biortech.2007.09.076>
- Sera, B., Špatenka, P., Šerý, M., Vrchoťová, N., & Hruškova, I. (2010).** Influence of plasma treatment on wheat and oat germination and early growth. *IEEE Transactions on Plasma Science*, 38(10), 2963-2968. <https://doi.org/10.1109/TPS.2010.2060728>
- Tounekki, T., Mujahid, Z. U. I., & Khemira, H. (2018, June).** Non-thermal dielectric barrier discharge (DBD) plasma affects germination of coffee and grape seeds. In *AIP Conference Proceedings* (Vol. 1976, No. 1). AIP Publishing. <https://doi.org/10.1063/1.5042396>
- Ungar, I. A. (1996).** Effect of salinity on seed germination, growth, and ion accumulation of *Atriplex patula* (Chenopodiaceae). *American Journal of Botany*, 83(5), 604-607. <https://doi.org/10.1002/j.1537-2197.1996.tb12745.x>
- Volkov, A. G., Hairston, J. S., Patel, D., Gott, R. P., & Xu, K. G. (2019).** Cold plasma poration and corrugation of pumpkin seed coats. *Bioelectrochemistry*, 128, 175-185. <https://doi.org/10.1016/j.bioelechem.2019.04.012>
- Zhang, J. J., Jo, J. O., Huynh, D. L., Mongre, R. K., Ghosh, M., Singh, A. K., ... & Jeong, D. K. (2017).** Growth-inducing effects of argon plasma on soybean sprouts via the regulation of demethylation levels of energy metabolism-related genes. *Scientific Reports*, 7(1), 41917. <https://doi.org/10.1038/srep41917>

